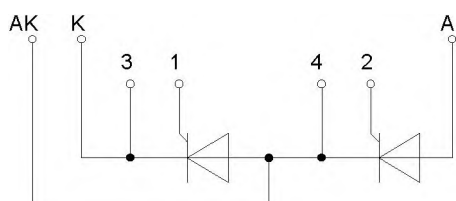
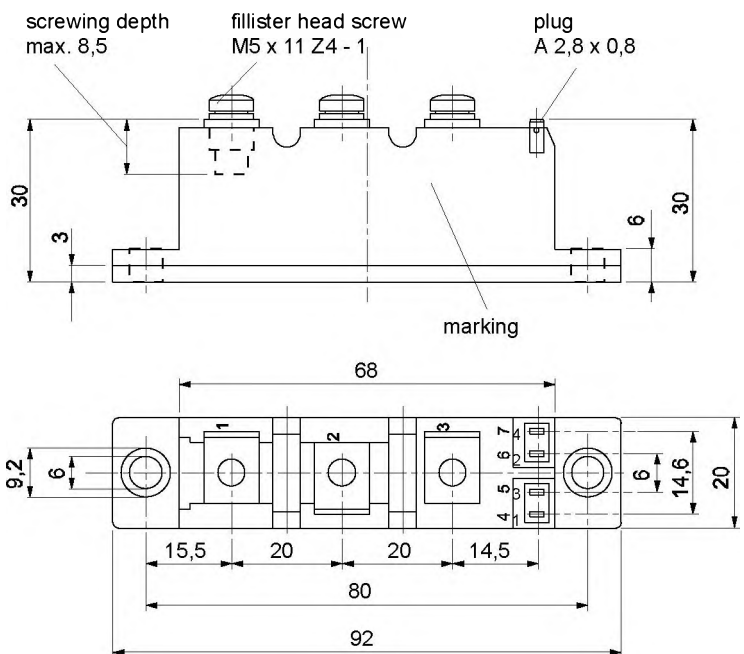
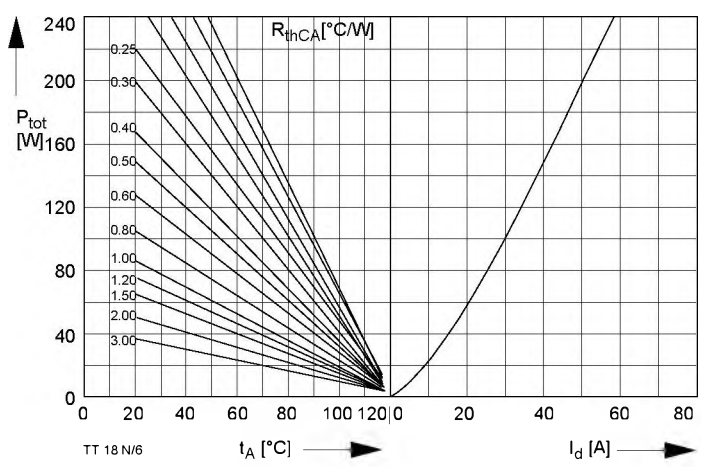
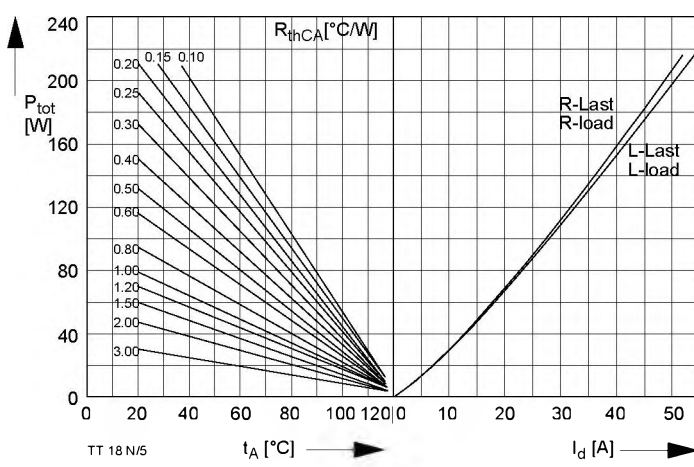
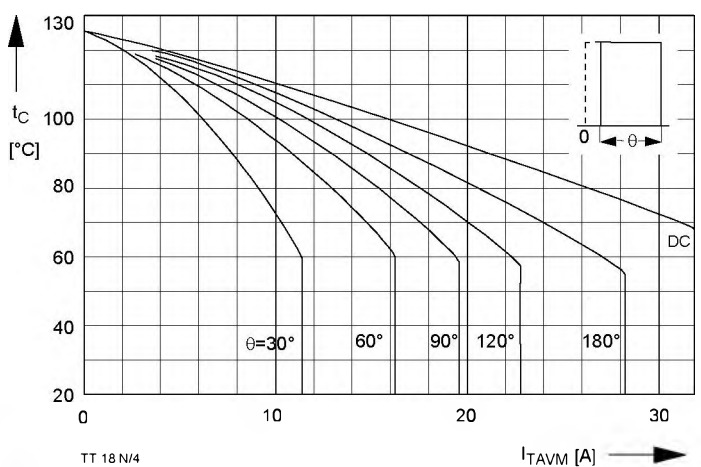
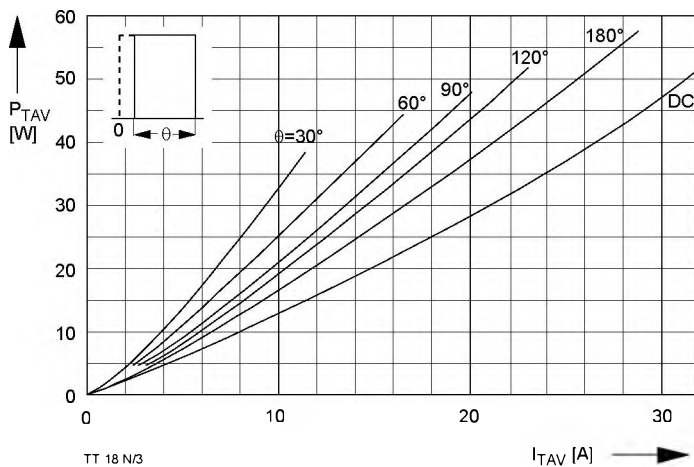
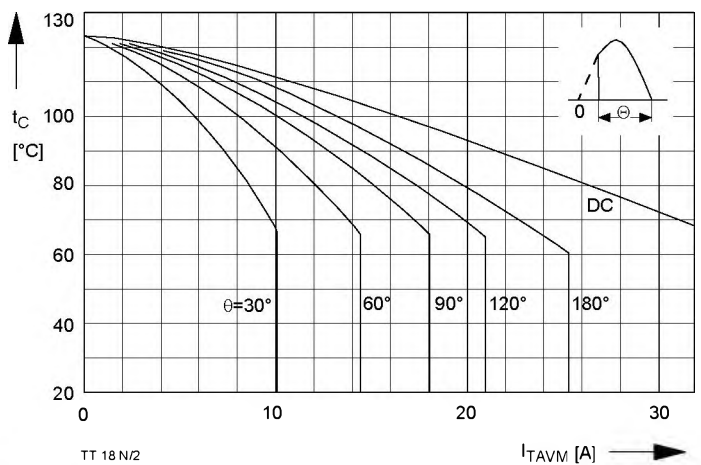
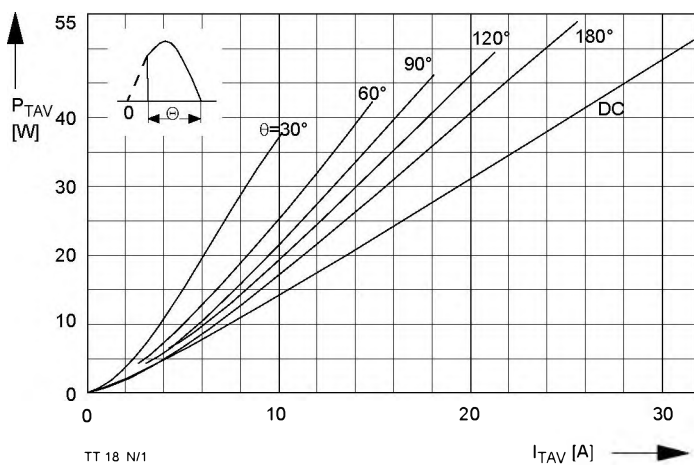


European Power-
Semiconductor and
Electronic Company

Marketing Information TT 18 N



TT 18 N



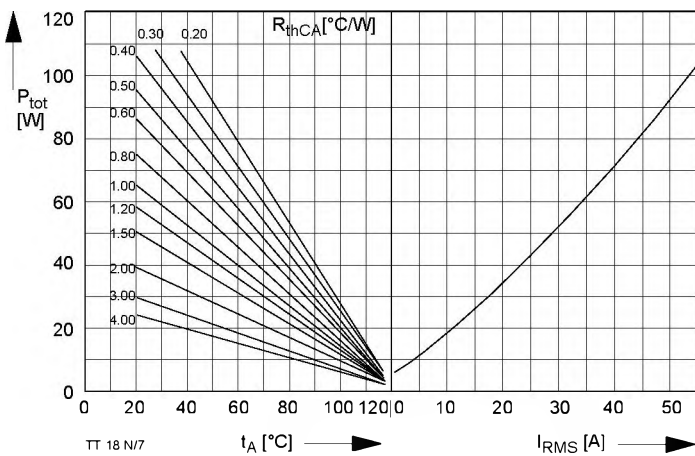


Bild / Fig. 7
W1C - Einphasen-Wechselwegschaltung / Single-phase inverse parallel circuit
Höchstzulässiger Effektivstrom / Maximum rated RMS current I_{RMS}
Gesamtverlustleist. der Schaltung / Total power dissip. of the circuit P_{tot}
Parameter: Wärmewiderstand zwischen Gehäuse und Umgebung/
thermal resistance case to ambient R_{thCA}

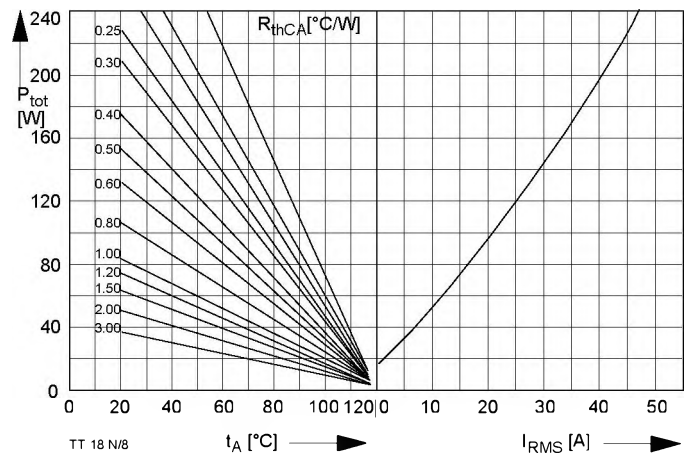


Bild / Fig. 8
W3C - Dreiphasen-Wechselwegschaltung / Three-phase inverse parallel circuit
Höchstzulässiger Effektivstrom je Phase / Maximum rated RMS current per phase I_{RMS}
Gesamtverlustleist. der Schaltung / Total power dissip. of the circuit P_{tot}
Parameter: Wärmewiderstand zwischen Gehäuse und Umgebung/
thermal resistance case to ambient R_{thCA}

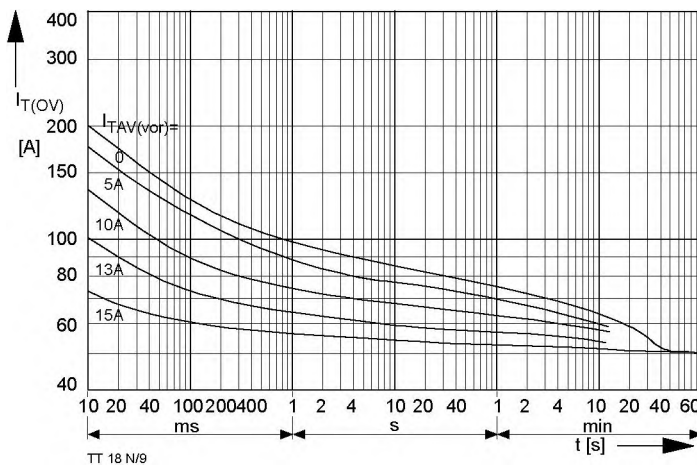


Bild / Fig. 9
B2 - Zweipuls - Brückenschaltung / Two - pulse bridge circuit
Überstrom je Zweig $I_{\text{T(OV)}}$ bei Luftselbstkühlung, $t_A=45^\circ\text{C}$,
Kühlkörper KP0,33S /
Overload on-state current per arm $I_{\text{T(OV)}}$ at natural cooling, $t_A=45^\circ\text{C}$,
heatsink type KP 0,33S
Parameter: Vorlaststrom je Zweig / pre-load current per arm $I_{\text{TAV(vor)}}$

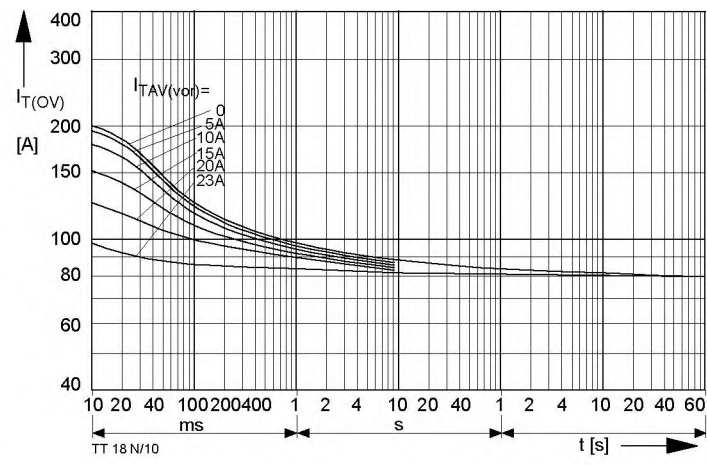


Bild / Fig. 10
B2 - Zweipuls - Brückenschaltung / Two - pulse bridge circuit
Überstrom je Zweig $I_{\text{T(OV)}}$ bei verstärkter Luftkühlung, $t_A=35^\circ\text{C}$, $V_L=90\text{ l/s}$,
Kühlkörper KP0,33S /
Overload on-state current per arm $I_{\text{T(OV)}}$ at forced cooling, $t_A=35^\circ\text{C}$, $V_L=90\text{ l/s}$,
heatsink type KP 0,33S.
Parameter: Vorlaststrom je Zweig / pre-load current per arm $I_{\text{TAV(vor)}}$

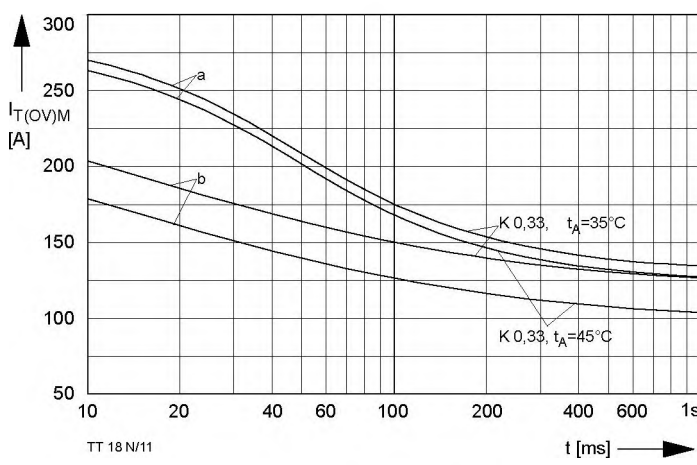


Bild / Fig. 11
Grenzstrom je Zweig $I_{\text{T(OV)M}}$ bei Luftselbstkühlung, $t_A=45^\circ\text{C}$ und verstärkter
Luftkühlung, $t_A=35^\circ\text{C}$, Kühlkörper KP 0,33S, $v_{RM}=0,8 V_{RRM}$.
Limiting overload on state current per arm $I_{\text{T(OV)M}}$ at natural ($t_A=45^\circ\text{C}$) and
forced ($t_A=35^\circ\text{C}$) cooling, heatsink type KP 0,33S, $v_{RM}=0,8 V_{RRM}$.
a - Belastung nach Leerlauf / current surge under no-load conditions
b - Belastung nach Betrieb mit Dauergrenzstrom I_{TAVM}
Current surge occurs during operation at limiting mean on- state current rating I_{TAVM}

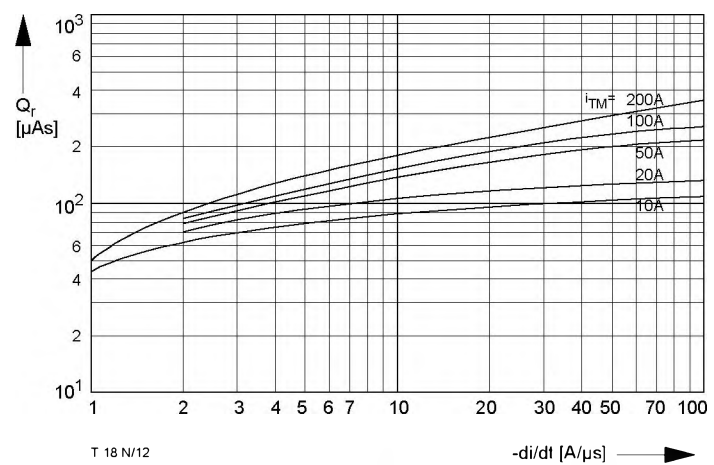


Bild / Fig. 12
Sperrverzögerungsladung / Recovery charge $Q_r = f(-di/dt)$
 $t_{vj} = t_{vj\max}$, $V_R \leq 0,5 V_{RRM}$, $V_{RM} = 0,8 V_{RRM}$
Parameter: Durchlaßstrom / On-state current i_{TM}

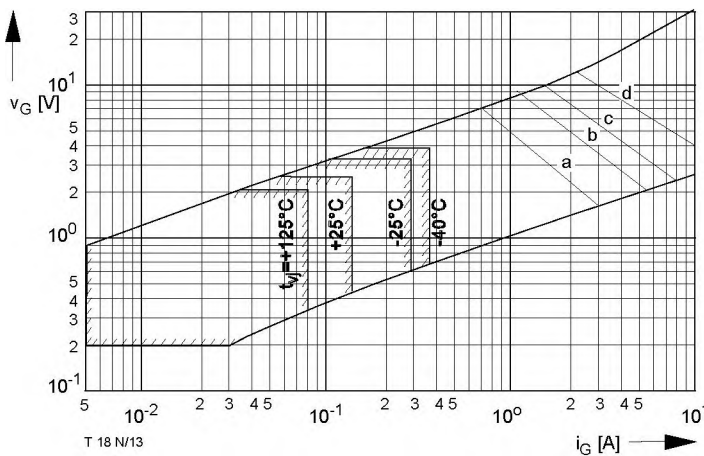


Bild / Fig. 13

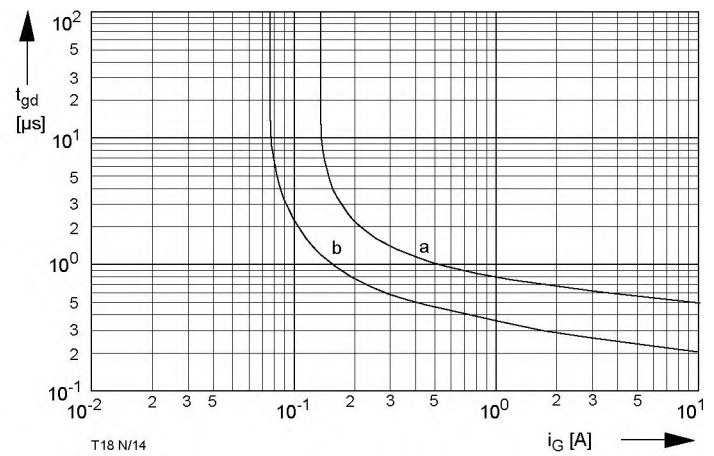
Steuercharakteristik mit Zündbereichen / Gate characteristic with triggering areas, $v_G = f(i_G)$, $v_D = 6 \text{ V}$ Parameter: $a \quad b \quad c \quad d$ Steuerimpulsdauer / Pulse duration t_g [ms] 10 1 0,5 0,1Höchstzulässige Spitzesteuerleistung/
Maximum allowable peak gate power [W] 5 10 15 30

Bild / Fig. 14

Zündverzug / Gate controlled delay time $t_gd = f(i_G)$ $t_{vj} = 25^\circ\text{C}$, $di_G/dt = i_{GM}/1\mu\text{s}$

a - äußerster Verlauf / limiting characteristic

b - typischer Verlauf / typical characteristic

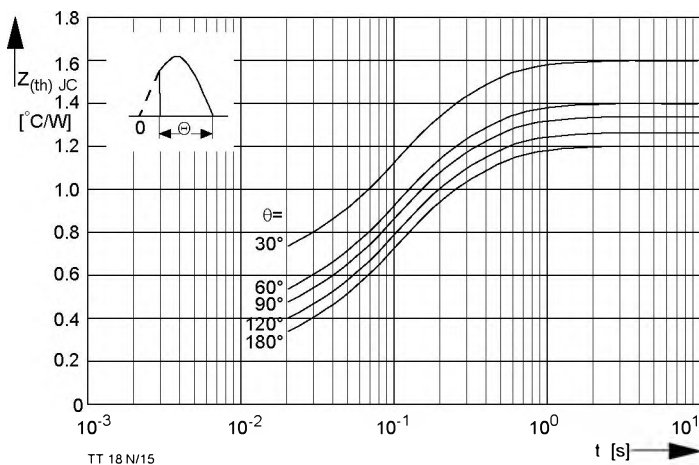


Bild / Fig. 15

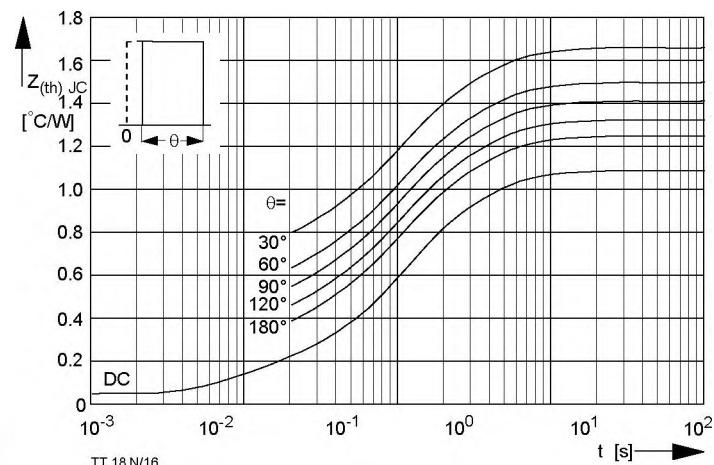
Transienter innerer Wärmewiderstand je Zweig / Transient thermal impedance per arm $Z_{(th)JC} = f(t)$ Parameter: Stromflußwinkel / current conduction angle θ 

Bild / Fig. 16

Transienter innerer Wärmewiderstand je Zweig / Transient thermal impedance per arm $Z_{(th)JC} = f(t)$ Parameter: Stromflußwinkel / current conduction angle θ Analytische Elemente des transienten Wärmewiderstandes Z_{thJC} pro Zweig für DC
Analytical elements of transient thermal impedance Z_{thJC} per arm for DC

Pos. n	1	2	3	4	5	6	7
$R_{thn} [\text{°C/W}]$	0,0517	0,112	0,173	0,517	0,0546	0,0778	0,114
$\tau_n [\text{s}]$	0,00153	0,00968	0,0501	0,173	0,0282	0,132	0,418

Analytische Funktion / Analytical function:

$$Z_{thJC} = \sum_{n=1}^{n_{max}} R_{thn} (1 - e^{-\frac{t}{\tau_n}})$$

TT 18 N, TD 18 N, DT 18 N

Elektrische Eigenschaften

Höchstzulässige Werte

Periodische Vorwärts- und Rückwärts-Spitzenperrspannung
Vorwärts-Stoßspitzenperrspannung
Rückwärts-Stoßspitzenperrspannung
Durchlaßstrom-Grenzeffektivwert

Dauergrenzstrom

Stoßstrom-Grenzwert

Grenzlastintegral

Kritische Stromsteilheit

Kritische Spannungssteilheit

Charakteristische Werte

Durchlaßspannung

Schleusenspannung

Ersatzwiderstand

Zündstrom

Zündspannung

Nicht zündender Steuerstrom

Nicht zündende Steuerspannung

Haltestrom

Einraststrom

Vorwärts- und Rückwärts-

Zündverzug

Freiwerdezeit

Isolations-Prüfspannung

Thermische Eigenschaften

Innerer Wärmewiderstand

Übergangs-Wärmewiderstand

Höchstzul. Sperrsichttemperatur

Betriebstemperatur

Lagertemperatur

Mechanische Eigenschaften

Gehäuse, siehe Seite

Si-Elemente mit Lötkontakt,
glaspassiviert
Innere Isolation

Anzugsdrehmoment für
mechanische Befestigung

Anzugsdrehmoment für elektrische
Anschlüsse

Gewicht

Kriechstrecke

Schwingfestigkeit

Kühlkörper / heatsinks: KP 0,5 S; KP 0,41 S; KP 0,35 S; KP 0,33 S

¹⁾ nur gültig für 4. Kennbuchstaben L / only valid with 4th letter L

Electrical properties

Maximum rated values

repetitive peak forward off-state
and reverse voltages
non-repetitive peak forward off-state voltage

non-repetitive peak reverse voltage

RMS on-state current

average on-state current

surge current

I^2t -value

critical rate of rise of on-state

critical rate of rise of off-state

Characteristic values

on-state voltage

threshold voltage

slope resistance

gate trigger current

gate trigger voltage

gate non-trigger current

gate non-trigger voltage

holding current

latching current

forward off-state and reverse

gate controlled delay time

circuit commutated turn-off time

insulation test voltage

Thermal properties

thermal resistance, junction to case

thermal resistance, case to

max. junction temperature

operating temperature

storage temperature

Mechanical properties

case, see page

Si-pellet with soldered contact,
glass-passivated
internal insulation

mounting torque

terminal connection torque

weight

creepage distance

vibration resistance

f = 50 Hz

$t_{vj} = -40^\circ\text{C} \dots t_{vj \text{ max}}$

$t_{vj} = -40^\circ\text{C} \dots t_{vj \text{ max}}$

$t_{vj} = +25^\circ\text{C} \dots t_{vj \text{ max}}$

$t_c = 85^\circ\text{C}$

$t_c = 59^\circ\text{C}$

$t_{vj} = 25^\circ\text{C}, t_p = 10 \text{ ms}$

$t_{vj} = t_{vj \text{ max}}, t_p = 10 \text{ ms}$

$t_{vj} = 25^\circ\text{C}, t_p = 10 \text{ ms}$

$t_{vj} = t_{vj \text{ max}}, t_p = 10 \text{ ms}$

$t_{vj} = t_{vj \text{ max}}, V_D = 8 \text{ V}$

$I_{TRMSM} = 40 \text{ A}$

$I_{TAVM} = 18 \text{ A}$

$I_{TSM} = 25,5 \text{ A}$

$I^2t = 390 \text{ A}$

$I^2t = 350 \text{ A}$

$I^2t = 610 \text{ A}$

$I_{GM} = 0,6 \text{ A}, di_G/dt = 0,6 \text{ A}/\mu\text{s}$

$t_{vj} = t_{vj \text{ max}}, V_D = 0,67 V_{DRM}$

$(dv_D/dt)_{cr} = 1000 \text{ V}/\mu\text{s}$

6.Kennbuchstabe/6th letter F

$t_{vj} = t_{vj \text{ max}}, i_T = 80 \text{ A}$

$t_{vj} = t_{vj \text{ max}}$

$t_{vj} = t_{vj \text{ max}}$

$t_{vj} = 25^\circ\text{C}, V_D = 6 \text{ V}$

$t_{vj} = 25^\circ\text{C}, V_D = 6 \text{ V}$

$t_{vj} = t_{vj \text{ max}}, V_D = 6 \text{ V}$

$t_{vj} = t_{vj \text{ max}}, V_D = 0,5 V_{DRM}$

$t_{vj} = t_{vj \text{ max}}, V_D = 0,5 V_{DRM}$

$t_{vj} = 25^\circ\text{C}, V_D = 6 \text{ V}, R_A = 10 \Omega$

$t_{vj} = 25^\circ\text{C}, V_D = 6 \text{ V}, R_{GK} > = 20 \Omega$

$i_{GM} = 0,6 \text{ A}, di_G/dt = 0,6 \text{ A}/\mu\text{s}, t_g = 20 \mu\text{s}$

$t_{vj} = t_{vj \text{ max}}$

$V_D = V_{DRM}, V_R = V_{RRM}$

DIN IEC 747-6, $t_{vj} = 25^\circ\text{C}$

$i_{GM} = 0,6 \text{ A}, di_G/dt = 0,6 \text{ A}/\mu\text{s}$

$t_{vj} = t_{vj \text{ max}}, i_{TM} = I_{TAVM}$

$V_{RM} = 100 \text{ V}, V_{DM} = 0,67 V_{DRM}$

$dv_D/dt = 20 \text{ V}/\mu\text{s}, -di_T/dt = 10 \text{ A}/\mu\text{s}$

5.Kennbuchstabe/5th letter O

RMS, f = 50 Hz, 1 min.

RMS, f = 50 Hz, 1 sec.

$V_{ISOL} = 3 \text{ kV}$

$V_{ISOL} = 3,6 \text{ kV}$

pro Modul/per module, $\Theta = 180^\circ \sin R_{thJC}$

pro Zweig/per arm, $\Theta = 180^\circ \sin$

pro Modul/per module, DC

pro Zweig/per arm, DC

pro Modul/per module

pro Zweig/per arm

R_{thCK}

$t_{vj \text{ max}}$

$t_c \text{ op}$

t_{slg}

125°C

$-40 \dots +125^\circ\text{C}$

$-40 \dots +125^\circ\text{C}$

Toleranz/tolerance +/- 15%

M1

Toleranz/tolerance +5%/-10%

M2

G

f = 50 Hz

V_{DRM}, V_{RRM}

800 1200 1400

1600

V_{DSM}

800 1200 1400

1600

V_{RSM}

900 1300 1500

1700

I_{TRMSM}

40

I_{TAVM}

18

I_{TSM}

390

I^2t

350

I^2t

610

$A^2\text{s}$

I_{GM}

100

$A/\mu\text{s}$

6.Kennbuchstabe/6th letter F

1000

$V/\mu\text{s}$

$0,60^\circ\text{C/W}$

$1,20^\circ\text{C/W}$

$0,55^\circ\text{C/W}$

$1,10^\circ\text{C/W}$

$0,1^\circ\text{C/W}$

$0,2^\circ\text{C/W}$

125°C

$-40 \dots +125^\circ\text{C}$

$-40 \dots +125^\circ\text{C}$

50 m/s^2

Al_2O_3

4

Nm

$typ. 125 \text{ g}$

$12,5 \text{ mm}$

50 m/s^2